

ФЕРРИМАГНИТНЫЙ ФАЗОВЫЙ ПЕРЕХОД В СИСТЕМЕ $\text{Li}_{0.5}\text{Fe}_{2.5-x}\text{Ga}_x\text{O}_4$ ВБЛИЗИ МУЛЬТИКРИТИЧЕСКОЙ ТОЧКИ $x - T$ -ФАЗОВОЙ ДИАГРАММЫ

Н. Н. Ефимова*, М. Б. Устименкова

Харьковский государственный университет
310077, Харьков, Украина

Поступила в редакцию 14 февраля 1998 г.

В русле проблемы идентификации магнитных состояний в окрестностях x_0 (мультикритической точки $x - T$ -диаграмм спин-стекольных систем) проведены исследования свойств, позволяющие определить наличие термодинамического фазового перехода в точке Кюри T_C и его особенностей: температурных зависимостей магнитной части теплоемкости $C_m(T)$ и низкополевой намагниченности $\sigma_H(T)$, а также (с целью изучения критического поведения в магнитном поле) изотерм намагниченности $\sigma_T(H)$. Объект исследований — система разбавленных ферримагнитных шпинелей $\text{Li}_{0.5}\text{Fe}_{2.5-x}\text{Ga}_x\text{O}_4$, где в окрестностях $x_0 = 1.5$ все типы магнитных состояний имеют пространственно-неоднородные структуры кластерного типа. Результаты, полученные для образца с $x = 1.45$, свидетельствуют о наличии при $x \sim x_0$ классических признаков ферримагнитного фазового перехода второго рода в $T_C = 97 \pm 2$ К. Для сравнения с предыдущим представлены также результаты аналогичных исследований для образца с $x = 1.6$, который при $T < T_f = 22$ К находится в состоянии кластерного спинового стекла, а при $T > T_f$ — в нескоррелированном кластерном состоянии типа суперпарамагнитного.

1. ВВЕДЕНИЕ

Спин-стекольные системы интенсивно исследуются уже в течение нескольких десятилетий, но несмотря на это проблема идентификации магнитных состояний в окрестностях мультикритической точки x_0 фазовых $x - T$ -диаграмм не утратила своей актуальности [1, 2]. Ее центральным моментом, по существу, является вопрос о наличии при $x \sim x_0$ дальнего порядка: ферро- или ферримагнитного ($x < x_0$) и спин-стекольного ($x \geq x_0$). Поводом для дискуссии, развернувшейся по этому вопросу, послужили результаты нейтронографических исследований, которые, с точки зрения представлений о совокупности канонических признаков, соответствующих, к примеру, возникновению дальнего ферримагнитного порядка, очень противоречивы [1]. Например, сообщалось о состояниях с бесконечным корреляционным радиусом r_c (т. е. $r_c^{-1} = 0$) и нулевой спонтанной намагниченностью $\sigma_s = 0$ и, наоборот, — $\sigma \neq 0$ и конечным значением r_c^{-1} [3–6].

Трудности, возникающие при интерпретации экспериментальных результатов, в том числе нейтронографических и ЯГР, во многом обусловлены пространственной неоднородностью магнитных состояний, которые вблизи x_0 имеют структуры кластерного типа [1, 6–8]. Особенно сильно эффекты кластеризации выражены для разбавленных систем с короткодействующим обменом [1, 6, 8, 9]. Пренебрегая деталями, мнения, высказываемые по этому поводу в научной литературе, можно разделить на две группы.

* E-mail: Alexander.V.Vankevich@univer.kharkov.ua

Так, согласно [6, 10], для пространственно-неоднородных структур кластерного типа $r_c^{-1}(T)$ содержит два вклада:

$$r_c^{-1}(T) = r_{cr}^{-1}(T) + r_0^{-1}(\Delta x).$$

Обычный «термический» вклад $r_{cr}^{-1}(T) = 0$ при $T \leq T_C$ (температура Кюри), как в обычных однородных ферримагнитных, но второй — $r_0^{-1}(\Delta x) \neq 0$ при всех температурах $T > 0$ К. Присутствие последнего вызвано пространственной неоднородностью ферримагнитного состояния, а величина определяется близостью концентрации x к порогу протекания. В рамках этих представлений при $T \leq T_C$ устанавливается дальний ферримагнитный порядок, хотя при $T \leq T_C$ результирующий обратный корреляционный радиус $r_c^{-1}(T) \neq 0$. Другая точка зрения сводится к тому, что в кластерных системах вблизи x_0 , где $r_c^{-1}(T) \neq 0$, нет макроскопической спонтанной намагниченности, но ферримагнитный порядок сохраняется в пределах крупных кластеров размерами порядка сотен ангстрем, так что в присутствии поля H появляются свойства, подобные ферримагнитным [5, 11].

Очевидно, что однозначный ответ на вопрос о существовании дальнего магнитного порядка вблизи x_0 не может быть получен с использованием только тех экспериментальных методов, которые очень чувствительны к наличию пространственной неоднородности кластерного типа, и для этого требуется изучение более широкого круга свойств. В настоящей работе проблема идентификации кластерных магнитных состояний вблизи x_0 рассмотрена в плане установления наличия или отсутствия некоторой совокупности классических признаков термодинамического фазового перехода из ферримагнитного в парамагнитное состояние. В число свойств, подлежащих экспериментальному исследованию, были включены: температурные зависимости магнитного вклада в теплоемкость $C_m(T)$ при $H = 0$ и низкополевой намагниченности $\sigma_H(T)$, а также — с целью изучения критического поведения в магнитном поле — изотермы намагниченности $\sigma_T(H)$ при $H \leq 8$ кЭ. Предполагалось, что такая совокупность экспериментов ($H = 0$ и $H \neq 0$) может дать, во-первых, независимую информацию о наличии в пространственно-неоднородной системе дальнедействующих ферримагнитных корреляций и, кроме того, — представление об особенностях свойств, проявляемых в присутствии магнитного поля.

В качестве объекта исследования выбрана гейзенберговская спин-стекольная система с короткодействием — разбавленные ферримагнитные шпинели $\text{Li}_{0.5}\text{Fe}_{2.5-x}\text{Ga}_x\text{O}_4$ с конкурирующими отрицательными меж- и внутриподрешеточными взаимодействиями [12, 13]. Мультикритическая точка соответствует $x_0 = 1.5$. Согласно нейтронографическим данным для $x \geq 1.35$ величина обратного корреляционного радиуса $r_c^{-1}(T)$ при понижении температуры первоначально уменьшается, а в интервале $T_f \leq T \leq T_1$ остается практически постоянной; T_f — температура замерзания смешанного состояния, а T_1 при достаточном удалении от x_0 ($x = 1.35$) совпадает с величиной T_C , определяемой из температурной зависимости динамической восприимчивости $\chi_{ac}(T)$ [14]. В качестве модельного объекта наиболее интересным для изучения вопроса о наличии дальнего ферримагнитного порядка в кластерной системе является образец с $x = 1.45$, который при шаге $\Delta x = 0.05$ (≈ 1.7 мол.%) для возвратной области $x - T$ -диаграммы ($x < x_0$) соответствует максимальной концентрации немагнитных ионов Ga^{3+} , при которой еще, в принципе, возможно существование дальнего ферримагнитного порядка [13]. Кроме того, ориентируясь на характер вопросов, обсуждаемых в литературе (в частности, относительно влияния магнитного поля), мы сочли полезным для сравнения включить

еще один образец $x = 1.6$, где содержание немагнитных ионов близко к x_0 со стороны спин-стекольных состояний и при $T_f = 22$ К имеет место переход из парамагнитного состояния в состояние кластерного спинового стекла [13].

2. МЕТОДИКА ИЗМЕРЕНИЙ И ОБРАЗЦЫ

Поликристаллические образцы разбавленных шпинелей, использованные для исследования тепловых и магнитных свойств, были синтезированы по стандартной керамической технологии из карбонатов и окислов соответствующих металлов марки «ЧДА» (реакция в твердой фазе в воздушной атмосфере при $T = 1523$ К в течение 5 ч). В пределах точности рентгеновского метода образцы были аттестованы как однофазные шпинели; их плотность составляла 80–90% от рентгеновской. Литиевый феррит $\text{Li}_{0.5}\text{Fe}_{2.5}\text{O}_4$ и галлат лития $\text{Li}_{0.5}\text{Ga}_{2.5}\text{O}_4$ образуют непрерывный ряд твердых растворов, причем в октаэдрической подрешетке существует сверхструктура типа 1 : 3 ($\text{Li}^+ : \text{Fe}^{3+} + \text{Ga}_{3+}$). При концентрациях Ga^{3+} $x \sim x_0$ распределение металлических ионов Ga^{3+} и Fe^{3+} по подрешеткам близко к статистическому. Согласно оценке катионного распределения, проведенного с использованием значения намагниченности при $T = 4.2$ К и $H \rightarrow \infty$, в среднем по образцу доли немагнитных ионов Ga^{3+} при $x = 1.45$ в тетра- и октаэдрической подрешетках составляют соответственно 0.6 (60%) и 0.85 (56%). Однако пространственное распределение магнитных и немагнитных ионов в этой концентрационной области резко неоднородно (композиционный беспорядок), что отчетливо проявляется в развитии специфических особенностей магнитных свойств при $x \rightarrow x_0$ [13, 14].

Исследования изотерм $\sigma_T(H)$ и политерм $\sigma_H(T)$ намагниченности выполнены на баллистическом магнитометре [13] с чувствительностью 10^{-3} Гс·см³·г⁻¹. Измерения теплоемкости с точностью не хуже 1.5% проведены с использованием вакуумного адиабатического калориметра с адсорбционным насосом [15]. Методика выделения магнитного вклада в теплоемкость аналогична применявшейся ранее в [15]. Во всех экспериментах температура регистрировалась с помощью углеродных термометров ТСУ-2.

3. ЭКСПЕРИМЕНТАЛЬНЫЕ РЕЗУЛЬТАТЫ И ИХ ОБСУЖДЕНИЕ

Теплоемкость и низкополевая намагниченность, $x = 1.45$

На рис. 1 представлены температурная зависимость низкополевой намагниченности $\sigma_H(T)$ при $H = 50$ Э и фрагмент температурной зависимости магнитного вклада в теплоемкость $C_m(T)$ (вставка на рис. 1) для основного объекта исследований — образца с $x = 1.45$. Как видно, ход зависимости $\sigma_H(T)$ в высокотемпературной области очень размыт, причем такой же характер поведения наблюдается в широком диапазоне постоянных полей начиная от $H = 2$ Э, а в динамическом режиме для $\chi_{ac}(T)$ и при $h_0 < 2$ Э [13, 14]. Специфическая колоколообразная форма кривых $\sigma_H(T)$ появляется при $x \geq 1.4$ и обусловлена сравнительной близостью температур замерзания (для $x = 1.45$ $T_f = 33$ К [13]) и точки Кюри T_C , которая, судя по поведению $C_m(T)$, для $x = 1.45$ должна иметь место. Таким образом, широкий максимум на кривых $\sigma_H(T)$ не отражает ни одного из возможных превращений — ни в T_f , ни в T_C . Одновременно из данных рис. 1 следует, что фазовый переход в точке Кюри на зависимостях $\sigma_H(T)$ (в малых полях это эквивалентно зависимости начальной восприимчивости $\chi_0(T)$) внешне

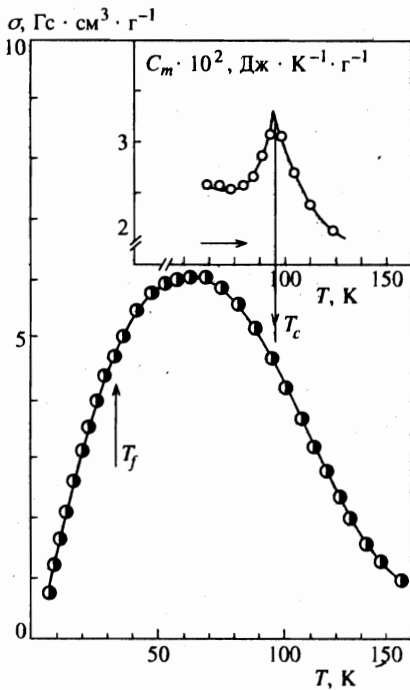


Рис. 1. Температурная зависимость низкополевой намагниченности $\sigma_{\text{ZFC}}(T)$ для образца с $x = 1.45$, $H = 50$ Э. Режим «ZFC» соответствует предварительному охлаждению образца от 300 до 4.2 К в отсутствие поля. На вставке: фрагмент температурной зависимости магнитного вклада в теплоемкость $C_m(T)$ для того же образца

никак себя не обнаруживает. Такое поведение в общем типично для пространственно-неоднородных систем [1, 5]. В совокупности с конечными значениями $\tau_c^{-1}(T)$ это нередко рассматривается как аргумент в пользу сомнений относительно существования истинного термодинамического перехода в ферромагнитное состояние, так как, хотя в пространственно-неоднородных системах вторые производные термодинамического потенциала при фазовом переходе второго рода не расходятся, они должны иметь сингулярности [2, 16, 17].

В рассматриваемом случае это наблюдается для теплоемкости — зависимость $C_m(T)$ при $T = 97 \pm 2$ К имеет аномалию, вид которой типичен для фазового перехода второго рода в T_C . При отсутствии в системе дальнедействующих корреляций по кристаллу в целом подобная аномалия могла бы наблюдаться лишь при условии, что большая часть кластеров имеет значения T_C достаточно близкие между собой и одновременно к величине, соответствующей максимуму $C_m(T)$ [17]. Такая ситуация могла бы реализоваться, например, в ансамбле идентичных по составу изолированных малых частиц [18], но не в реальных разбавленных системах, где образование кластеров есть статистический процесс, обусловленный композиционным беспорядком, и кластерная подсистема должна характеризоваться некоторой функцией распределения $f(T_{Ck})$ и независимо от этого $f(M)$, где T_{Ck} — температура Кюри, а M — магнитный момент кластера [10, 19].

В соответствии с имеющимися экспериментальными данными в разбавленных ферромагнитных окислах, включая Li-Ga-шпинели при $x > 1.3$, ферромагнитное упорядочение в кластерах сохраняется до температур, намного превышающих T_C образцов в целом [13, 19]. Из результатов, приведенных в настоящей работе, об этом (наличии

$f(T_{Ck})$ и $T_{Ck} > T_C$ свидетельствует как размытие хода $\sigma_H(T)$ в широкой области температур, так и большая величина теплоемкости C_m при $T > T_C$ (рис. 1). Последнее указывает на сохранение при $T > T_C$ большого числа магнитных степеней свободы. Это совершенно закономерно, если при $T > T_C$ существует состояние типа суперпарамагнитного, так как система невзаимодействующих кластеров может быть источником различных типов магнитных возбуждений [20]. Таким образом, аномалия теплоемкости при $T = T_C$, на наш взгляд, убедительно свидетельствует о том, что ниже T_C существует скоррелированное магнитное состояние, т. е. дальний ферримагнитный порядок для всего кристалла в целом, а не только в пределах крупных кластеров.

Критическое поведение в магнитном поле, $x = 1.45$

Другая возможность определения наличия превращения из ферримагнитного состояния в парамагнитное в T_C связана с характерными особенностями фазового перехода второго рода, а именно, существованием в окрестностях T_C критического поведения при $H > 0$ [2, 21–23]. Считая $T_C = 97 \pm 2$ К, мы рассмотрели ход изотерм намагниченности $\sigma_T(H)$ образца с $x = 1.45$ в окрестностях T_C с точки зрения их соответствия уравнению магнитного состояния в критической области: $(H/\sigma)^{1/\gamma} = A(T - T_C)/T_C + B\sigma^{1/\beta}$, где γ и β — критические показатели, а A и B — критические амплитуды [23]. Часть использованных для этого экспериментальных зависимостей $\sigma_T(H)$ приведена на рис. 2. Для лучшего восприятия начальные участки кривых $\sigma_T(H)$ вынесены на вставку к рис. 2. Первоначально было рассмотрено среднеполевое приближение, которое удовлетворительно описывает критическое поведение неоднородных систем — в нашем случае неразбавленных ферримагнетиков [21]. Для этого применялась известная процедура, а именно, представление экспериментальных кривых $\sigma_T(H)$ в виде графиков Белова—Арротта, т. е. в координатах $H/\sigma - \sigma^2$ [21–23]. Попытка такого рода привела к следующим результатам. В интервале магнитных полей от тех, где заканчиваются процессы

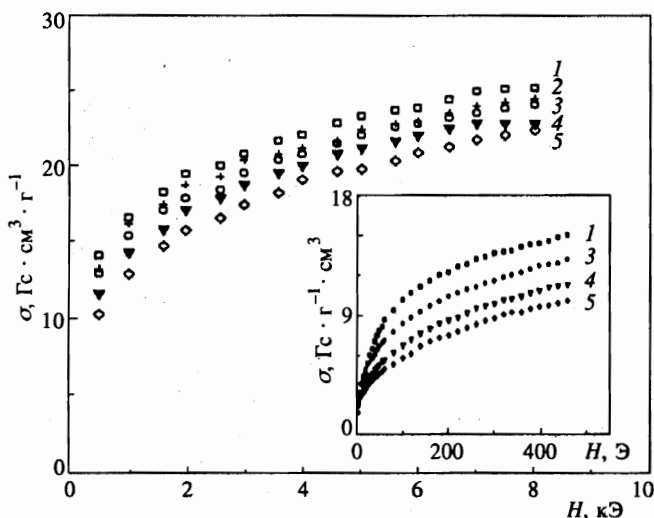


Рис. 2. Изотермы намагниченности $\sigma_T(H)$ образца с $x = 1.45$ при температурах T : 85 К (1), 90 К (2), 95 К (3), 105 К (4), 115 К (5). На вставке: начальные участки кривых $\sigma_T(H)$ при $H \leq 460$ Э

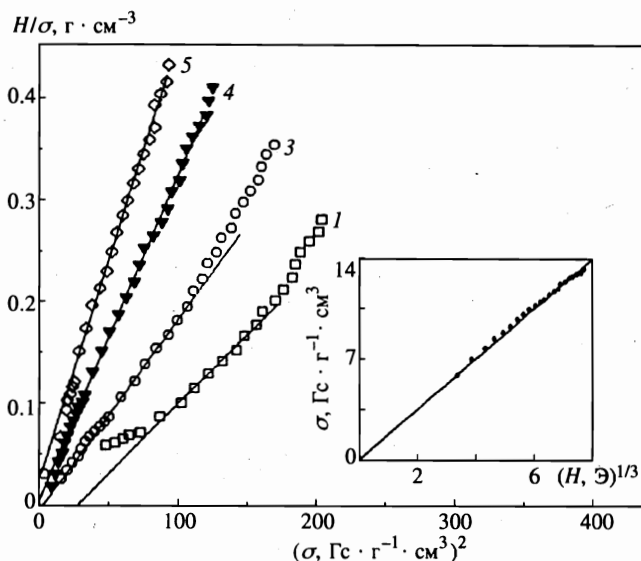


Рис. 3. Изотермы намагниченности рис. 2 в координатах Белова—Арротта; $H \leq 460$ Э, $T = 85$ К (1), 95 К (3), 105 К (4), 115 К (5). На вставке: зависимость $\sigma(H^{1/3})$ при $T = 95$ К, $H \leq 260$ Э

технического намагничивания, до $H \approx 260\text{--}460$ Э в координатах Белова—Арротта экспериментальные кривые $\sigma_T(H)$ представляют собой прямые линии — рис. 3. Видно, что в парамагнитной области соответствующий этому интервал полей увеличивается. Изотерма, проходящая через начало координат, соответствует $T_C = 95$ К, что хорошо согласуется с предыдущими данными $C_m(T)$. Как следует из результатов рис. 3 (вставка), для критической изотермы при $T = T_C$ имеем $\sigma \sim H^{1/3}$, т. е. в уравнении $\sigma \sim H^{1/\delta}$ также фигурирует среднеполевое значение $\delta = 3$. Итак, в полях $150 \text{ Э} < H < 450 \text{ Э}$ для образца с $x = 1.45$ наблюдается критическое поведение, предсказываемое теорией среднего поля для однородных систем с критическими показателями $\gamma = 1, \beta = 0.5, \delta = 3$.

Однако вне этого интервала полей изотермы рис. 2, представленные в координатах Белова—Арротта, отклоняются от линейности. Такое поведение — возможность искривления графиков Белова—Арротта в зависимости от величины H — было предсказано в рамках модели среднего поля, обобщенной на случай пространственно-неоднородных систем [24–27]. Эти отклонения авторы [25–27] описывают посредством введения в среднеполевое уравнение для однородных систем некоей подлежащей определению функции $F(H)$: $H/\sigma = A' + B'\sigma^2 + F(H)$, $A' = a'(T - T_C)$, и ее появление связывают с флуктуациями термодинамических коэффициентов A' и B' . В рамках другого подхода, широко используемого экспериментально, предполагается, что пространственно-неоднородным системам соответствует уравнение магнитного состояния, в котором величины критических показателей γ и β отличаются от среднеполевых значений [23, 28]. Для анализа изотерм намагниченности в полях $H > 460$ Э мы выбрали второй путь и, следуя [23, 28], представили экспериментальные кривые $\sigma_H(T)$ в виде графиков Арротта—Нозкса: $(H/\sigma)^{0.75} - \sigma^{2.5}$ (рис. 4). Видно, что в полях $1.5 \leq H \leq 8.0$ кЭ в координатах Арротта—Нозкса экспериментальные изотермы следуют линейной зависимости и изотерма, проходящая через начало координат, снова

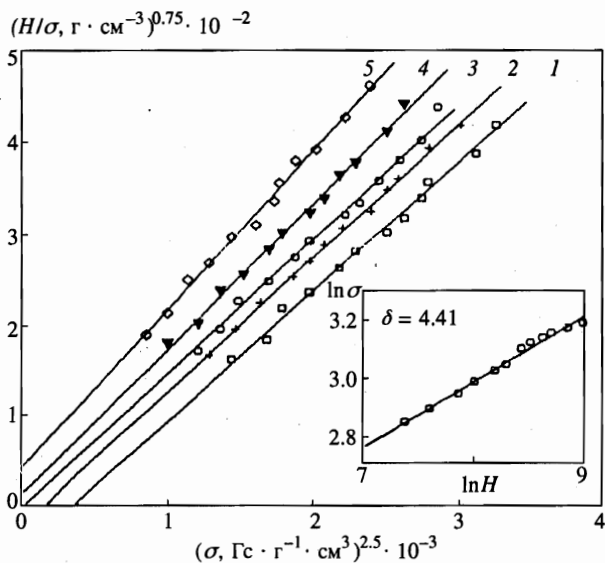


Рис. 4. Изотермы намагниченности рис. 2 в координатах Аррота—Нозкса в полях $1.5 < H < 8$ кЭ; нумерация изотерм соответствует рис. 2. На вставке: изотерма $\sigma_T(H)$ при $T = 95$ К, представленная в двойном логарифмическом масштабе

соответствует $T = 95$ К. Таким образом, в этом случае $\gamma = 1.33$ и $\beta = 0.4$. Перестроив критическую изотерму при $T = T_C = 95$ К в двойном логарифмическом масштабе, мы определили $\delta = 4.41$ (вставка рис. 4). Эти значения критических показателей удовлетворяют скейлинговому соотношению [2]: $\alpha = 2(1 - \beta) - \gamma$ при разумном значении $\alpha = -0.13$. Отметим, что такие же значения критических показателей характерны для другого типа пространственно-неоднородных систем — аморфных магнетиков [23].

Опираясь на те же аргументы, что и при обсуждении природы аномалии $C_m(T)$, можно с полным основанием считать, что наблюдающееся критическое поведение отражает поведение всей системы в целом, а не внутрикластерные процессы. Единственной обнаруженной нами специфической особенностью фазового перехода второго рода между пространственно-неоднородными ферримагнитным и парамагнитным состояниями является изменение критического поведения при переходе от области слабых к области средних значений полей, и мы не встречали экспериментальных сведений о такого рода поведении. Ниже мы вернемся к обсуждению этого вопроса. Но прежде целесообразно сравнить поведение обсуждавшегося образца с $x = 1.45$ и спин-стекольного с $x = 1.6$.

Зависимости $C_m(T)$, $\sigma_H(T)$ и $\sigma_T(H)$, $x = 1.6$

В Li-Ga-шпинелях при $x > x_0 = 1.5$ реализуется состояние типа кластерного спинового стекла [13]. В пределах кластеров существует ферримагнитное упорядочение как при $T < T_f$, так и в парамагнитной области при $T > T_f$ [13, 29]. При $T > T_f$ тепловая энергия превышает энергию обмена между кластерами, так что в спин-стекольных образцах с $x > 1.5$ реализуется нескоррелированное кластерное состояние типа суперпарамагнитного, а кластерная подсистема описывается некоторыми функциями распределения $f(T_{Ck})$ и $f(M)$. Образец с $x = 1.6$ использован как модель такого рода

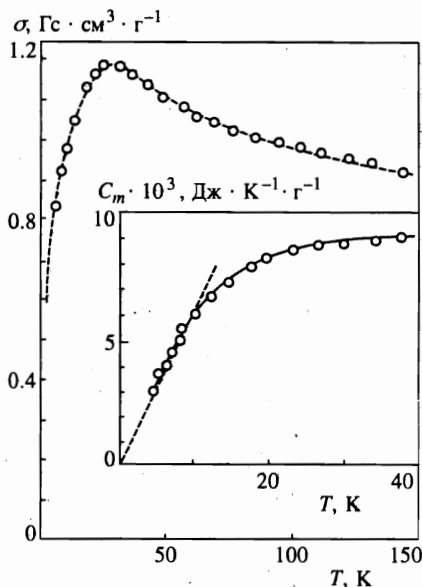


Рис. 5. Температурные зависимости низкополевой намагниченности $\sigma_{ZFC}(T)$ при $H = 50$ Э и магнитного вклада в теплоемкость $C_m(T)$ (вставка) — для спин-стекольного образца с $x = 1.6$

состояния. Сравнение поведения спин-стекольного и ферромагнитного образцов было проведено при использовании для $x = 1.6$ той же совокупности свойств, что и для $x = 1.45$.

На рис. 5 представлены зависимости низкополевой намагниченности $\sigma_H(T)$ и теплоемкости $C_m(T)$. Видно, что наличие кластерной неоднородности влияет и на характер спин-стекольного перехода в T_f : он резко проявляется при $T < T_f$ ($T \rightarrow 0$ К) и сильно размыт при $T > T_f$, где низкополевая намагниченность сохраняет большие значения вплоть до 150 К. Такая же, как на рис. 5, картина поведения наблюдается при величинах внешнего поля H , меньших, чем приведено на рис. 5.

Теплоемкость $C_m(T)$ (см. вставку на рис. 5), как и в классических спиновых стеклах [1], линейно зависит от температуры при $T \rightarrow 0$ К и не имеет аномалии в T_f . Однако в данном случае уже при $T < T_f$ наблюдается отклонение от линейности. При $T > T_f$ C_m имеет большие значения, что типично для спиновых стекол, где при $T \leq T_f$ реализуется лишь часть полной магнитной энтропии (~ 0.4) [1].

Несмотря на описанные выше особенности поведения, для $x = 1.6$, как и для других образцов системы $\text{Li}_{0.5}\text{Fe}_{2.5-x}\text{Ga}_x\text{O}_4$ ($x > 1.5$), наличие перехода из парамагнитного состояния в состояние спинового стекла в T_f однозначно определяется по появлению процессов долговременной логарифмической релаксации неравновесной намагниченности σ_{ZFC} , существованию линий критического поведения в магнитном поле — $T_f(H)$, и, наконец, переход описывается однокомпонентным параметром порядка Эдвардса—Андерсона q_{EA} [13].

Вместе с тем, присутствие в магнитной подсистеме ферромагнитных кластеров действительно приводит к тому, что ход изотерм намагниченности $\sigma_T(H)$, на первый взгляд, ничем не отличается от предыдущего ($x = 1.45$), причем как при $T < T_f$, так и при $T > T_f$ — см. рис. 6. Намагниченность имеет достаточно большие значения вплоть до температур $T = 150$ К, что намного превышает величину T_f . С точки зрения по-

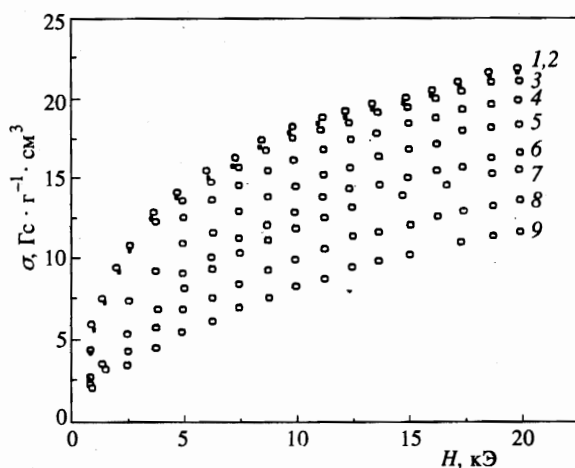


Рис. 6. Изотермы намагниченности $\sigma_T(H)$ образца с $x = 1.6$ при $T = 20$ К (1), 4.2 К (2), 40 К (3), 60 К (4), 80 К (5), 100 К (6), 110 К (7), 130 К (8), 150 К (9)

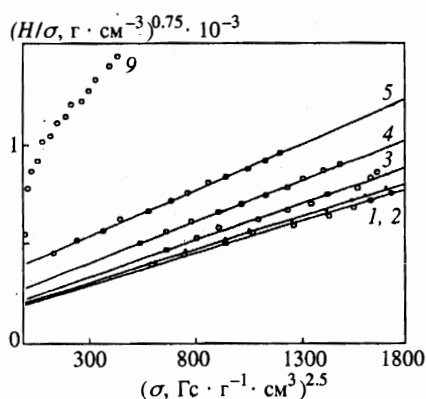


Рис. 7. Изотермы намагниченности рис. 6 в координатах Арротта—Нозэкса. Нумерация изотерм совпадает с рис. 6

ставленной задачи представляло интерес выяснение вопроса о том, какому уравнению магнитного состояния соответствуют изотермы рис. 6. Для этого как первая попытка была использована такая же процедура, как и для $x = 1.45$. Как следует из данных рис. 7, изотермы намагниченности $\sigma_T(H)$ образца с $x = 1.6$ в интервале температур $4.2 \text{ К} < T < 150 \text{ К}$ и магнитных полей $3.5 \text{ кЭ} < H < 20 \text{ кЭ}$ в координатах Арротта—Нозэкса являются прямыми линиями, но ни одна из них не пересекает оси $\sigma^{2.5}$ в области положительных значений. Это означает отсутствие спонтанной намагниченности [21–23, 28].

Результаты, полученные для образца с $x = 1.6$, ясно показывают, что даже в достаточно сильных магнитных полях нет «восстановления» дальнего ферромагнитного порядка в кристалле, если он (порядок) отсутствовал при $H = 0$. Причем это в равной степени относится как к области $T < T_f$, где энергия обмена между кластерами превышает тепловую, так и к области $T > T_f$. Таким образом, утверждение о том, что в магнитном поле кластерный ферромагнетик и суперпарамагнетик (нескоррелированное кластерное

состояние) обнаруживают аналогичное поведение, может относиться исключительно к подобию форм изотерм $\sigma_T(H)$ и частично политерм $\sigma_H(T)$ намагниченности. Однако даже простой анализ этих зависимостей показывает принципиальное отличие скоррелированного ферромагнитного и нескоррелированного суперпарамагнитного кластерных состояний, выражающееся в наличии или отсутствии σ_s и соответственно T_C .

Модель пространственно-неоднородной магнитной структуры и фазового перехода в точке Кюри при $x \sim x_0$

В системах с короткодействием вследствие композиционного беспорядка (нерегулярного распределения в решетке магнитных и немагнитных ионов) возникает пространственная неоднородность обменного взаимодействия, в результате чего в кристалле можно выделить две обменно-связанные подсистемы — кластеры и матрицу [10, 13, 14]. Кластеры соответствуют областям с повышенным содержанием магнитных ионов, между которыми сохраняется сильный обмен, так что в пределах каждого кластера реализуется ферромагнитное упорядочение. В матрице, напротив, велико содержание немагнитной компоненты. При наличии конкурирующих обменных взаимодействий следствием этого является не только ослабление обмена, но и появление фрустрированных связей. Судя по имеющимся экспериментальным данным [13], включая полученные в настоящей работе, тип магнитного упорядочения кристалла в целом определяется состоянием матрицы; в частности, реализация ферромагнитного или спин-стекольного состояний обусловлена, очевидно, концентрацией фрустрированных связей.

Используя такую модель кластерного ферромагнитного состояния, на примере образца с $x = 1.45$ рассмотрим картину фазового перехода в точке Кюри, соответствующего превращению ферромагнетик — парамагнетик в пространственно-неоднородных структурах. Разрушение дальнего ферромагнитного порядка в кристалле связано с исчезновением дальнедействующих корреляций между спинами матрицы, а следовательно, и между кластерами. Величина T_C кристалла в целом определяется величиной среднего значения обмена между матрицей и кластерами и между спинами матрицы. При $T > T_C$ последние практически полностью разупорядочены, а в кластерах ферромагнитный порядок сохраняется вплоть до $T_{Ck} > T_C$. При $T > T_C$ имеют место, очевидно, только локальные фазовые переходы второго рода при $T = T_{Ck}$, соответствующие разрушению ферромагнитного упорядочения спинов в кластерах. Этот процесс происходит в широкой области температур, определяемой функцией распределения $f(T_{Ck})$, и поэтому не может привести к особенностям термодинамических свойств, характерных для макроскопического фазового перехода второго рода. Этот вывод непосредственно вытекает из полученных нами экспериментальных данных, в том числе для образца с $x = 1.6$.

Безотносительно к тому, описывается ли критическое поведение пространственно-неоднородных систем на языке изменения (по сравнению с однородным случаем) критических показателей [23, 28] или посредством введения функции $F(H)$ [24–27], в общем оно определяется прежде всего наличием и характером пространственных флуктуаций намагниченности и обмена, а также согласно [24–27] величиной внешнего поля H . В связи с этим обнаруженные нами особенности критического поведения образца с $x = 1.45$ возможно отражают общие закономерности, которые могут проявиться при благоприятном для этого сочетании определяющих факторов. В нашем случае это —

очень резкие пространственные флуктуации обмена и намагниченности, которые приводят к формированию магнитной структуры кластерного типа, обсуждавшейся выше. Благодаря этому, с учетом специфических особенностей процессов намагничивания в системах подобного рода, можно представить следующую картину изменения критического поведения образца с $x = 1.45$. Из общих энергетических соображений (соотношение величин тепловой и магнитной энергии $E_H = -MH$, где M — магнитный момент кластера или отдельного иона), а также хода изотерм намагничивания $\sigma_T(H)$ (рис. 2) следует, что вклады, вносимые в суммарную восприимчивость обеими подсистемами (кластерами и матрицей), зависят от величины H . Если область полей, где уже практически отсутствует техническое намагничивание, условно разделить на три интервала — слабые, средние и сильные, то в слабых полях ход $\sigma_T(H)$ определяют кластеры с большими магнитными моментами, а в сильных — спины матрицы, так как моменты кластеров уже ориентированы вдоль направления поля. В области средних полей ход $\sigma_T(H)$ в большей или меньшей степени определяется обеими подсистемами и, в числе прочего, зависит от функции распределения $f(M)$. В этом смысле (экспериментально регистрируемый отклик на внешнее магнитное поле) неоднородная система выступает в роли однородной в слабых и сильных полях.

В рамках такого подхода можно проиллюстрировать также кооперативный характер фазового перехода второго рода в точке Кюри T_C , т. е. участие в нем обеих подсистем — кластеров и матрицы. Это непосредственно вытекает из того факта, что во всех случаях, регистрируется ли отклик кластерной подсистемы (слабые поля) или всей пространственно-неоднородной системы в целом ($H = 0$, средние поля), получаются одинаковые значения T_C . Отметим, что другая точка зрения по этому вопросу высказывалась в [23], где утверждалось, что в аморфных магнетиках в фазовых переходах второго рода участвует лишь некоторая доля общего количества спинов.

Завершая обсуждение характера ферримагнитного фазового перехода вблизи x_0 , кратко коснемся вопроса об отсутствии при $T = T_C$ каких-либо особенностей на зависимостях низкополевой намагниченности $\sigma_H(T)$ и начальной восприимчивости $\chi_0(T)$. По предварительным данным причиной этого могут быть специфические эффекты, связанные с кластерной подсистемой. Дело в том, что часть кластеров может находиться не в суперпарамагнитном, а в мало- или однодоменном состояниях [18, 29]. Процесс намагничивания таких кластеров не претерпевает никаких изменений при переходе через точку Кюри образца, а их вклад в намагниченность (восприимчивость) в области технического намагничивания может быть достаточно велик. При увеличении поля однодоменные кластеры могут переходить в суперпарамагнитное состояние [18, 30]. Этим, возможно, и объясняется тот экспериментальный факт, что с увеличением поля H при $T \geq T_C$ ($T \geq T_f$) наблюдается более резкое уменьшение намагниченности, чем в малых полях. Ход динамической восприимчивости $\chi_{ac}(T)$ (очень малые поля) в окрестностях T_C или T_f может размываться также из-за присутствия в образце слабого остаточного момента.

4. ЗАКЛЮЧЕНИЕ

На примере разбавленной ферримагнитной шпинели $\text{Li}_{0.5}\text{Fe}_{2.5-x}\text{Ga}_x\text{O}_4$ ($x = 1.45$) с короткодействующим обменом показано, что вблизи мультикритической точки ($x_0 = 1.5$), где формируются пространственно-неоднородные магнитные состояния, имеет место ферримагнитный фазовый переход второго рода в точке Кюри, характеризующийся стандартными термодинамическими признаками: при $T = T_C = 97 \pm 2$ К наблюдается типичная для фазовых переходов второго рода аномалия на зависимости $C_m(T)$, а в окрестностях T_C — критическое поведение в магнитном поле. В целом полученные экспериментальные результаты свидетельствуют о несостоятельности для области концентраций $x \sim x_0$ ($x < x_0$) модели магнитного состояния, предполагающей сохранение ферримагнитного упорядочения только в пределах кластеров. Существование дальнего порядка в пространственно-неоднородных структурах кластерного типа (ферримагнетик при $x < x_0$ или спиновое стекло при $x > x_0$) находит удовлетворительное объяснение в рамках модели ферримагнитных и спин-стекольных состояний, учитывающей наличие в кристалле двух обменно-связанных подсистем — кластеров и матрицы. За счет обменного взаимодействия между матрицей и кластерами, а также спинами матрицы возникают дальнедействующие корреляции в кристалле. Среднее значение этого обмена определяет величину T_C , а его дисперсия — T_f .

Дополнительное рассмотрение модельного объекта — спин-стекольного образца с $x = 1.6$, где при $T > T_f$ реализуется нескоррелированное кластерное состояние, наглядно доказывает ошибочность мнения о том, что в кластерных системах дальний ферримагнитный порядок, отсутствующий при $H = 0$, может «восстанавливаться» в достаточно сильном магнитном поле.

Поскольку в настоящей работе исследована экстремальная ситуация — система с короткодействием, где композиционный беспорядок способствует реализации резко выраженной пространственной неоднородности обмена, — полученные результаты могут быть обобщены и на другие спин-стекольные системы, включая металлические, типа системы Au-Fe, обсуждавшейся в [11].

Литература

1. K. Binder and A. P. Young, *Rev. Mod. Phys.* **58**, 801 (1986).
2. В. С. Доценко, УФН **163**, 1 (1993); **165**, 482 (1995).
3. G. Aeppli, S. M. Shapiro, H. Maletta et al., *J. Appl. Phys.* **55**, 1628 (1984).
4. H. Maletta, G. Aeppli, and M. Shapiro, *J. Magn. Magn. Mater* **31-34**, 1367 (1983).
5. Ph. Mangin, D. Boumazouza, G. George et al., *Phys. Rev. B* **40**, 11123 (1989).
6. M. Apai, Y. Ishikawa, N. Saito et al., *J. Phys. Soc. Jap.* **54**, 781 (1985).
7. A. P. Murani, *Sol. State Comm.* **34**, 705 (1980).
8. H. Maletta, *J. Appl. Phys.* **53**, 2185 (1982).
9. J. Hubsch, G. Gavoille, and J. Boffa, *J. Appl. Phys.* **49**, p. II, 363 (1978).
10. R. J. Birgeneau, R. A. Cowley, G. Shirane et al., *Phys. Rev. B* **21**, 317 (1980).
11. P. A. Beck, *Phys. Rev. B* **32**, 7255 (1985).
12. Н. Н. Ефимова, Ю. А. Мамалуй, УФЖ **20**, 1201 (1975).
13. Н. Н. Ефимова, Ю. А. Попков, Н. В. Ткаченко, ЖЭТФ **90**, 1413 (1986); **97**, 1208 (1990); ФНТ **14**, 981 (1988); **15**, 1055 (1989); **16**, 1565 (1990).

14. Н. Н. Ефимова, Ю. А. Попков, Г. А. Такзей и др., ФТТ **36**, 490 (1994).
15. Н. Н. Ефимова, В. А. Перваков, В. И. Овчаренко и др., ФТТ **35**, 2838 (1993).
16. Б. Я. Балагуров, В. Г. Вакс, ЖЭТФ **65**, 1600 (1973).
17. Д. Е. Хмельницкий, ЖЭТФ **68**, 1960 (1975).
18. Ю. И. Петров, *Физика малых частиц*, Наука, Москва (1982), с. 358.
19. Н. В. Ткаченко, Дисс... канд. физ.-мат. наук, ХГУ, Харьков (1990).
20. И. Я. Коренблит, Е. Ф. Шендер, УФН **126**, 233 (1978).
21. К. П. Белов, *Магнитные превращения*, Физматгиз, Москва (1959), с. 259.
22. A. Arrott, Phys. Rev. Lett. **20**, 1029 (1968).
23. S. N. Kaul, J. Magn. Magn. Mater **53**, 5 (1985).
24. G. Herzer, M. Fahnle, T. Egami et al., J. Appl. Phys. **52**, p. II, 1794 (1981).
25. M. Fahnle and H. Kronmuller, Phys. Stat. Sol. (b) **98**, 219 (1980).
26. M. Fahnle, Phys. Stat. Sol. (b) **99**, 547 (1980).
27. E. P. Wohlfarth, Proc. Intermag. Conf. IEEE Trans. Magnetic **14**, 933 (1978).
28. A. Arrott and J. E. Noakes, Phys. Rev. Lett. **19**, 786 (1967).
29. Н. Н. Ефимова, С. Р. Куфтерина, Ю. А. Попков и др., ФНТ **22**, 1079 (1996).
30. H. Pfeiffer and W. Schuppel, J. Magn. Magn. Mater **130**, 92 (1994).